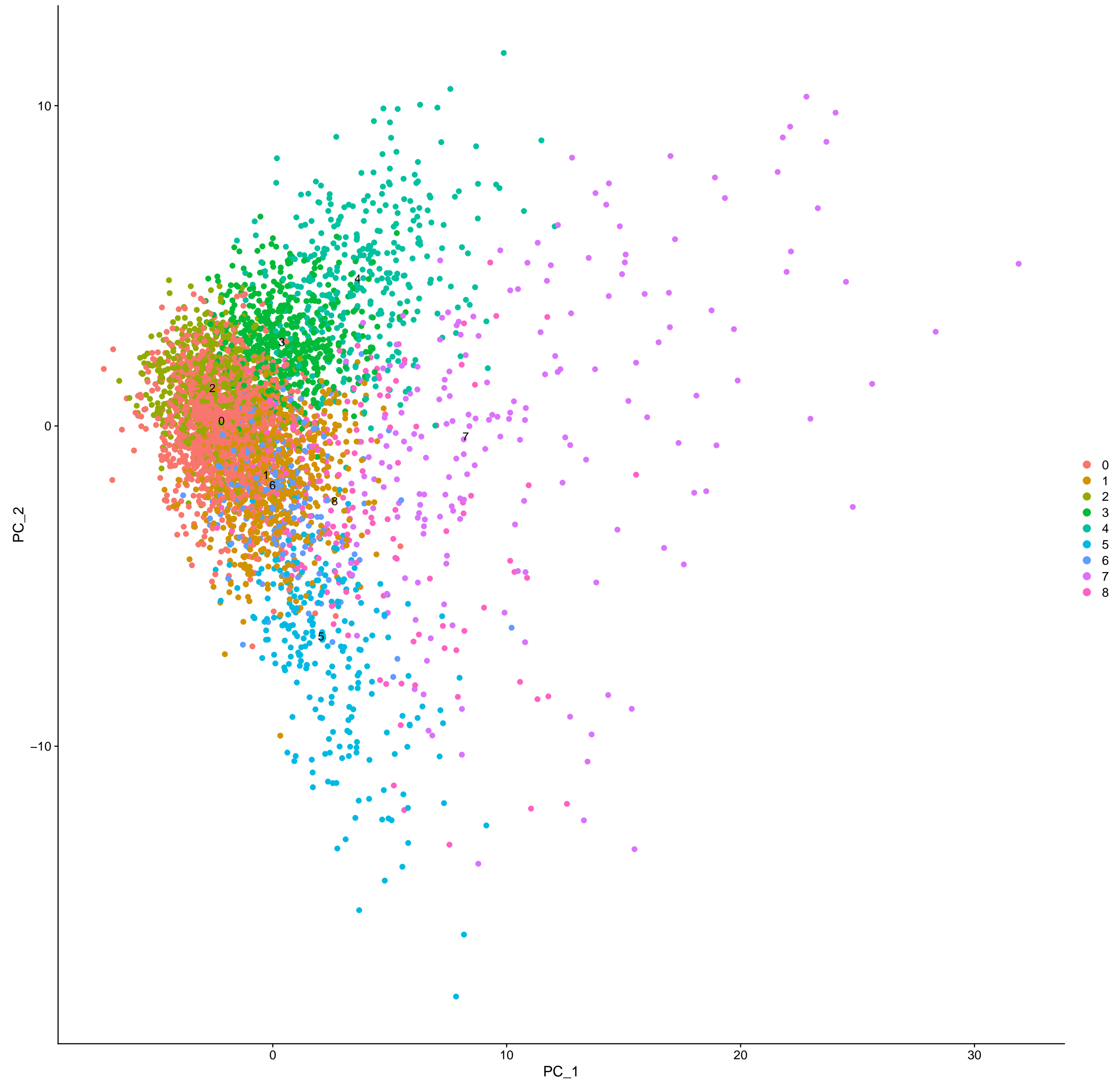
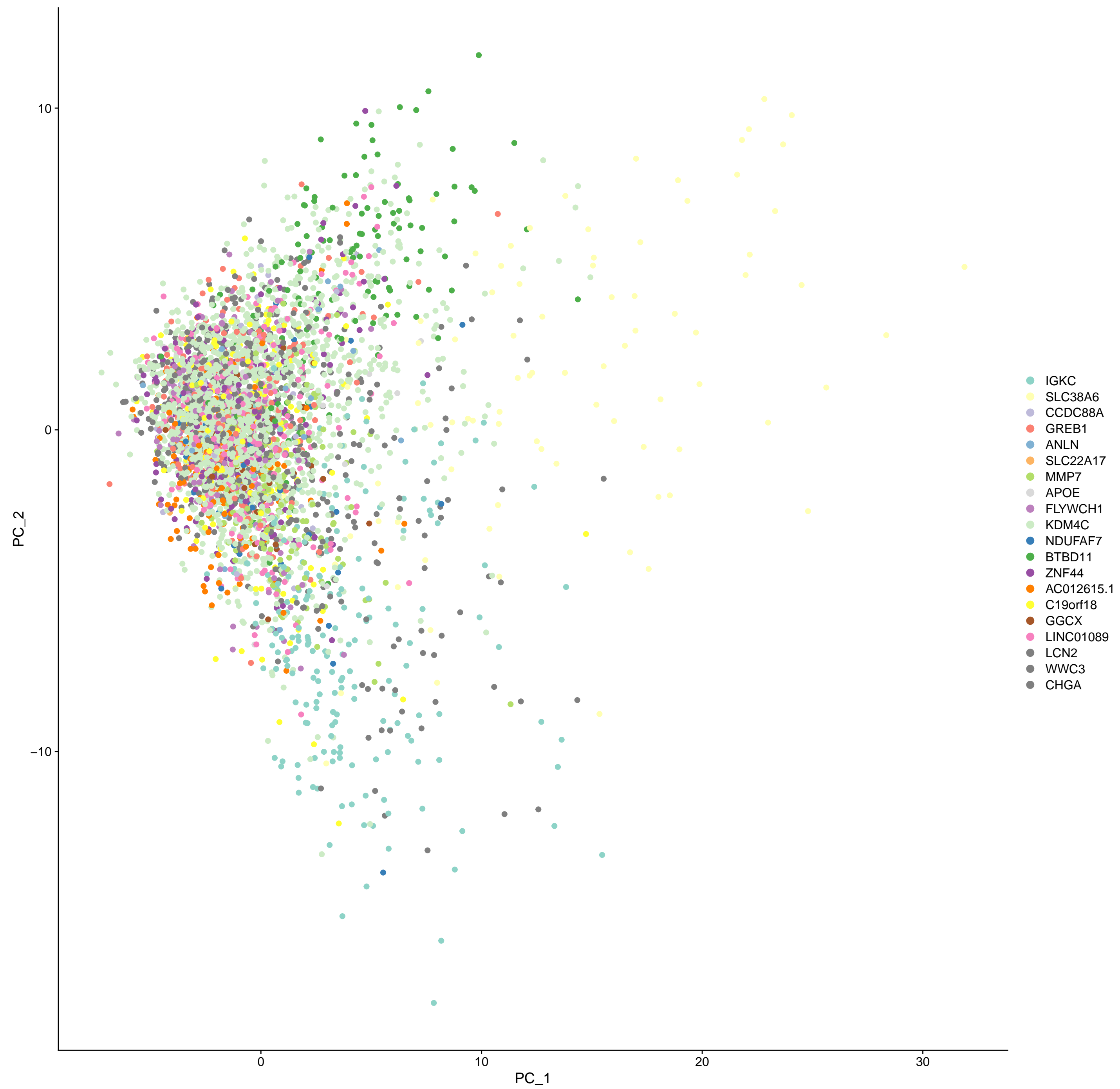
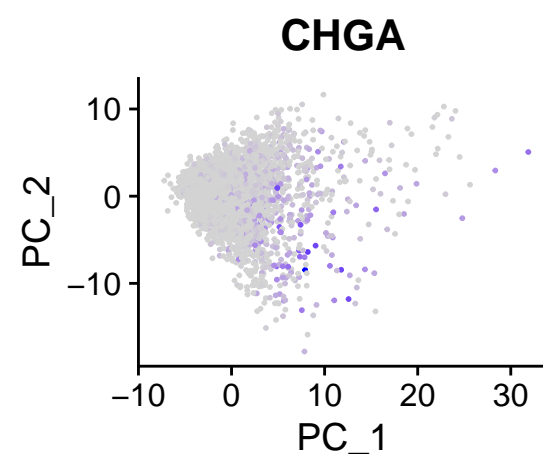
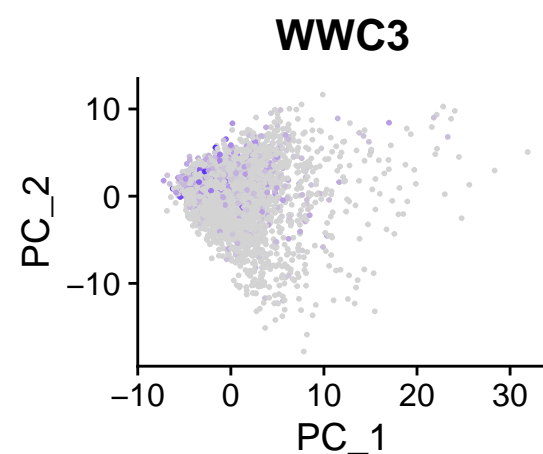
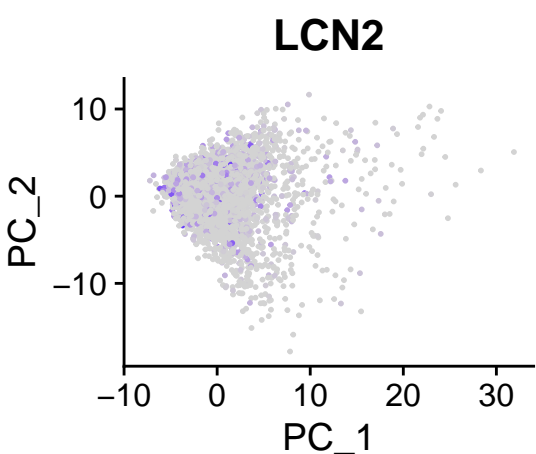
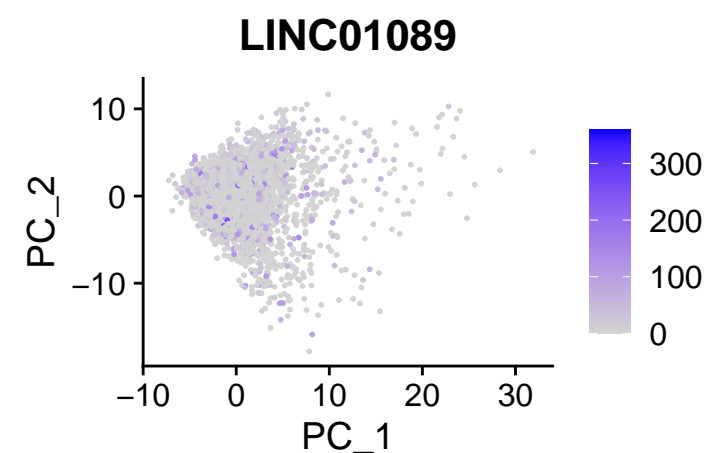
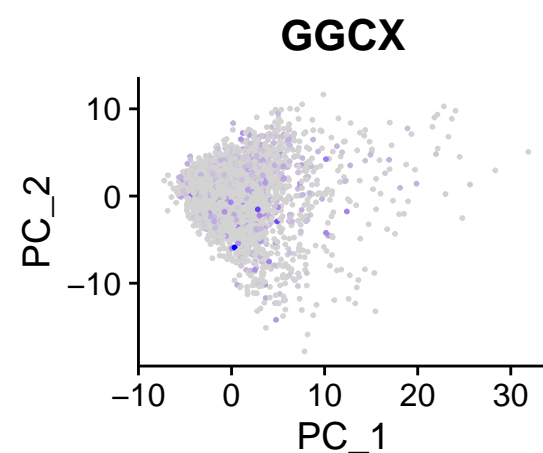
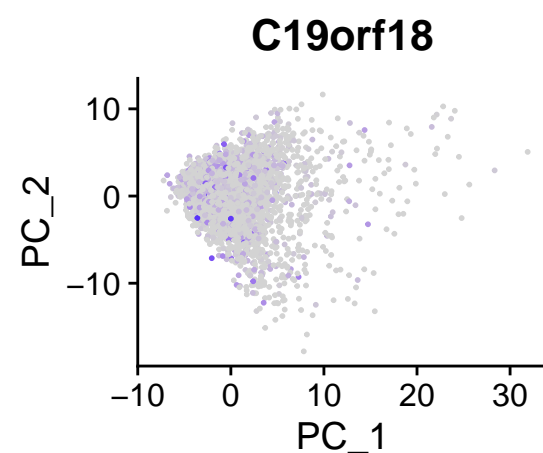
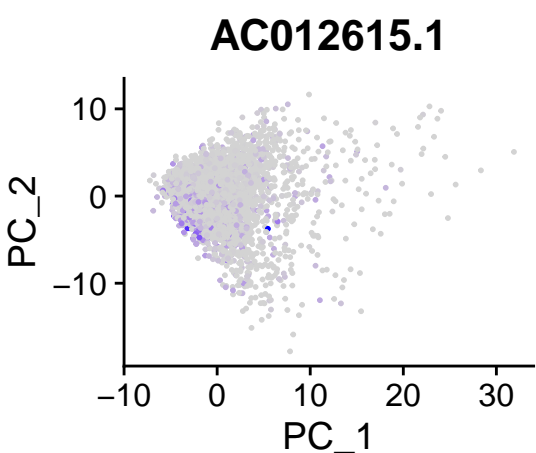
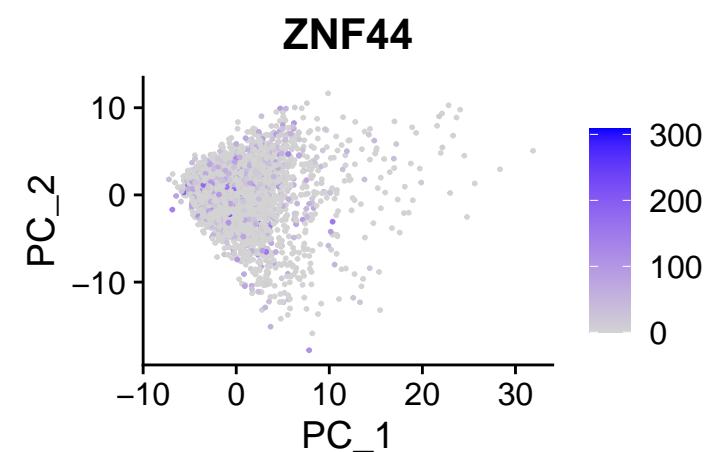
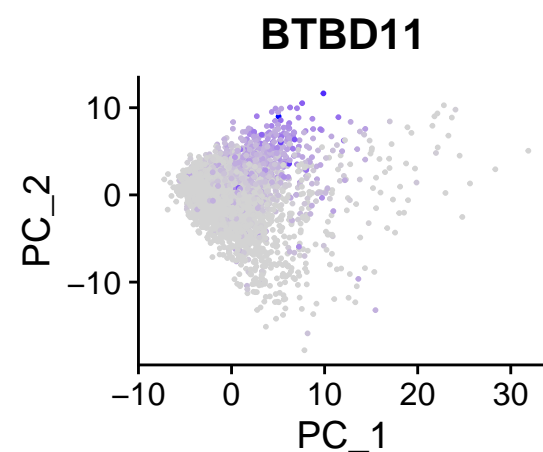
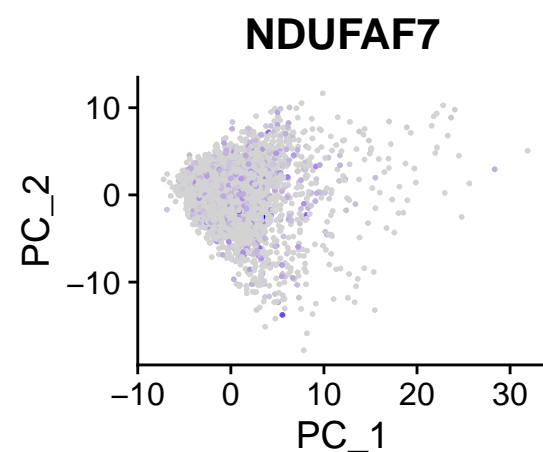
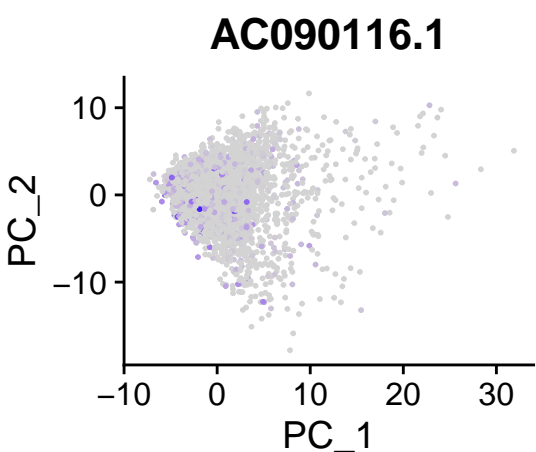
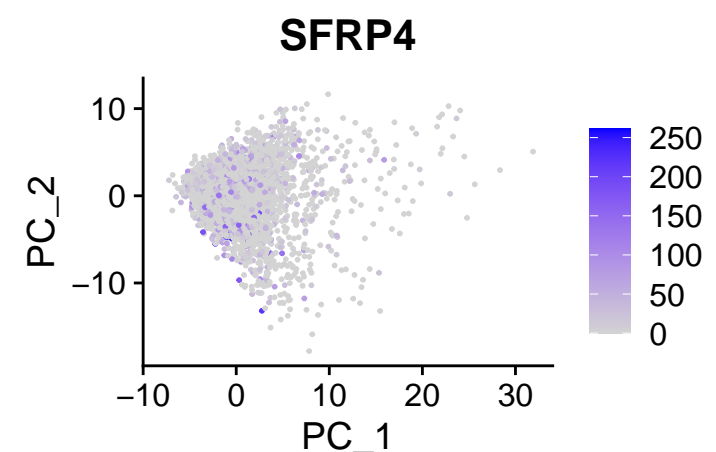
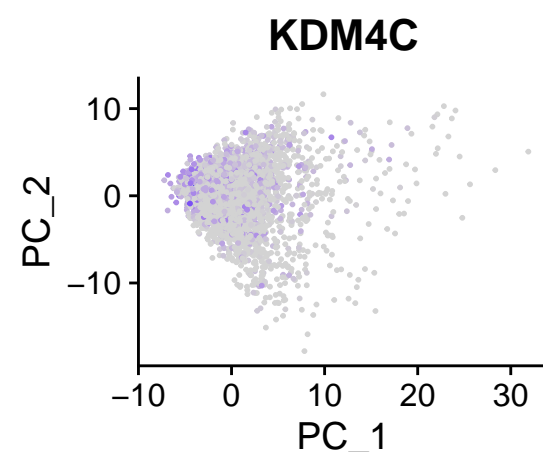
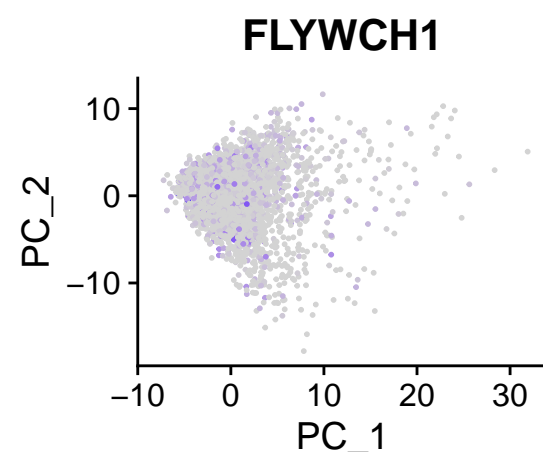
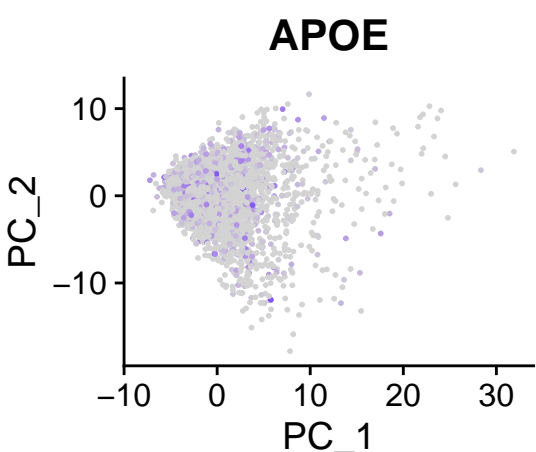
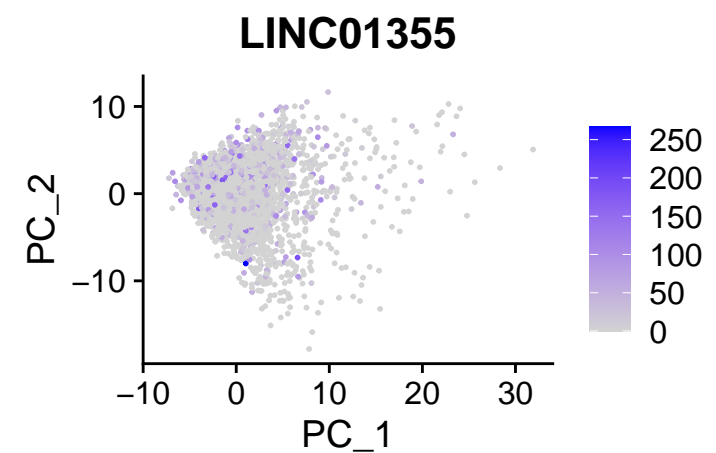
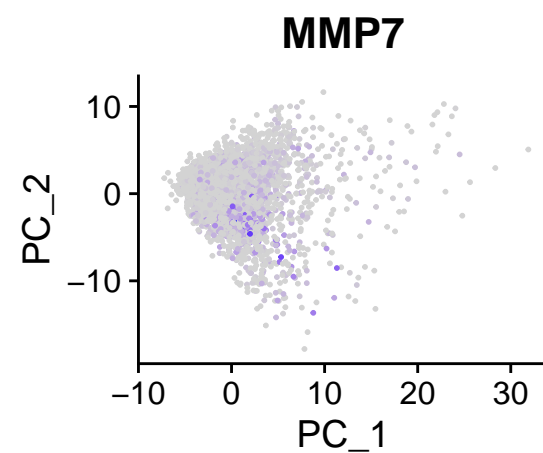
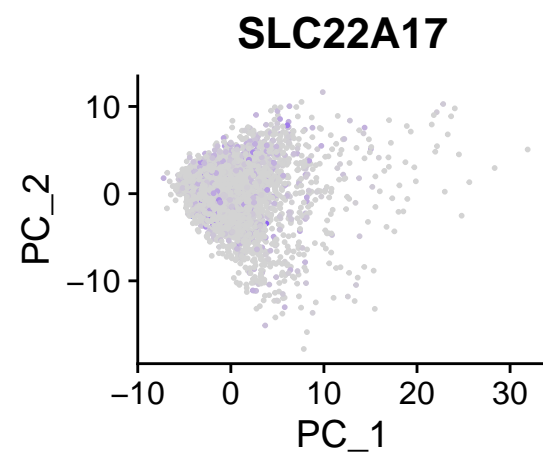
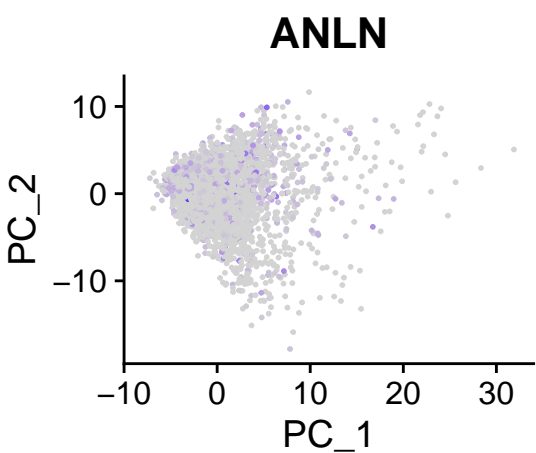
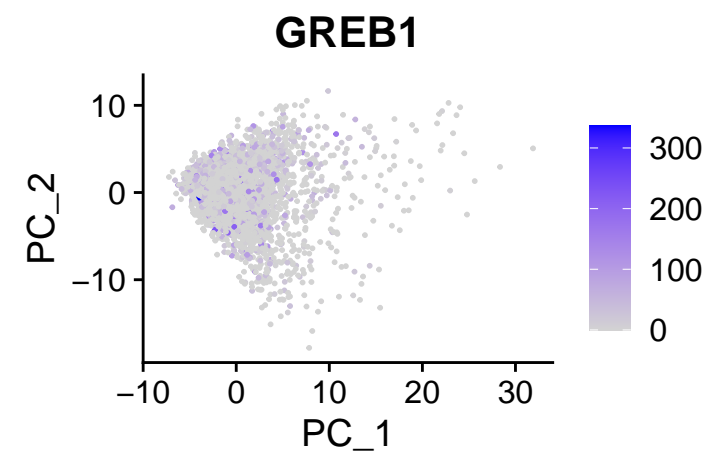
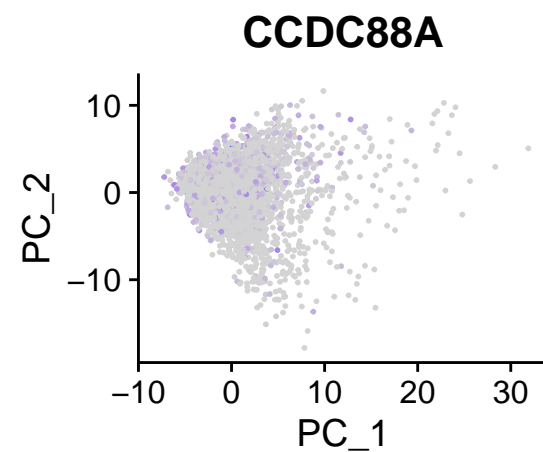
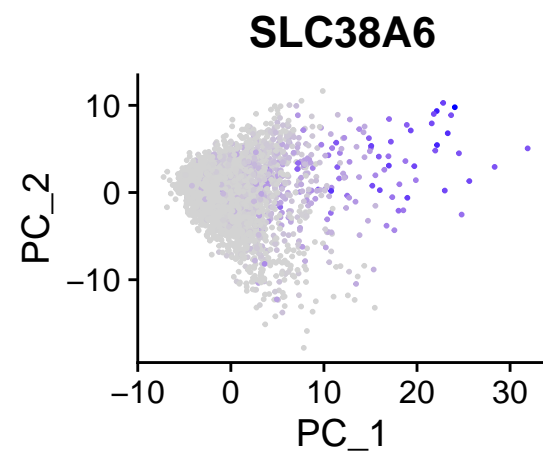
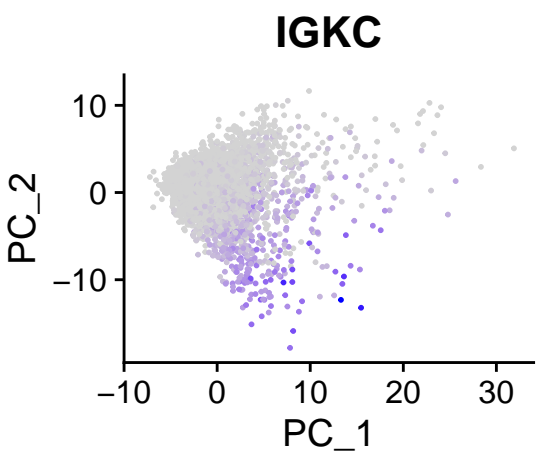


seurat_clusters

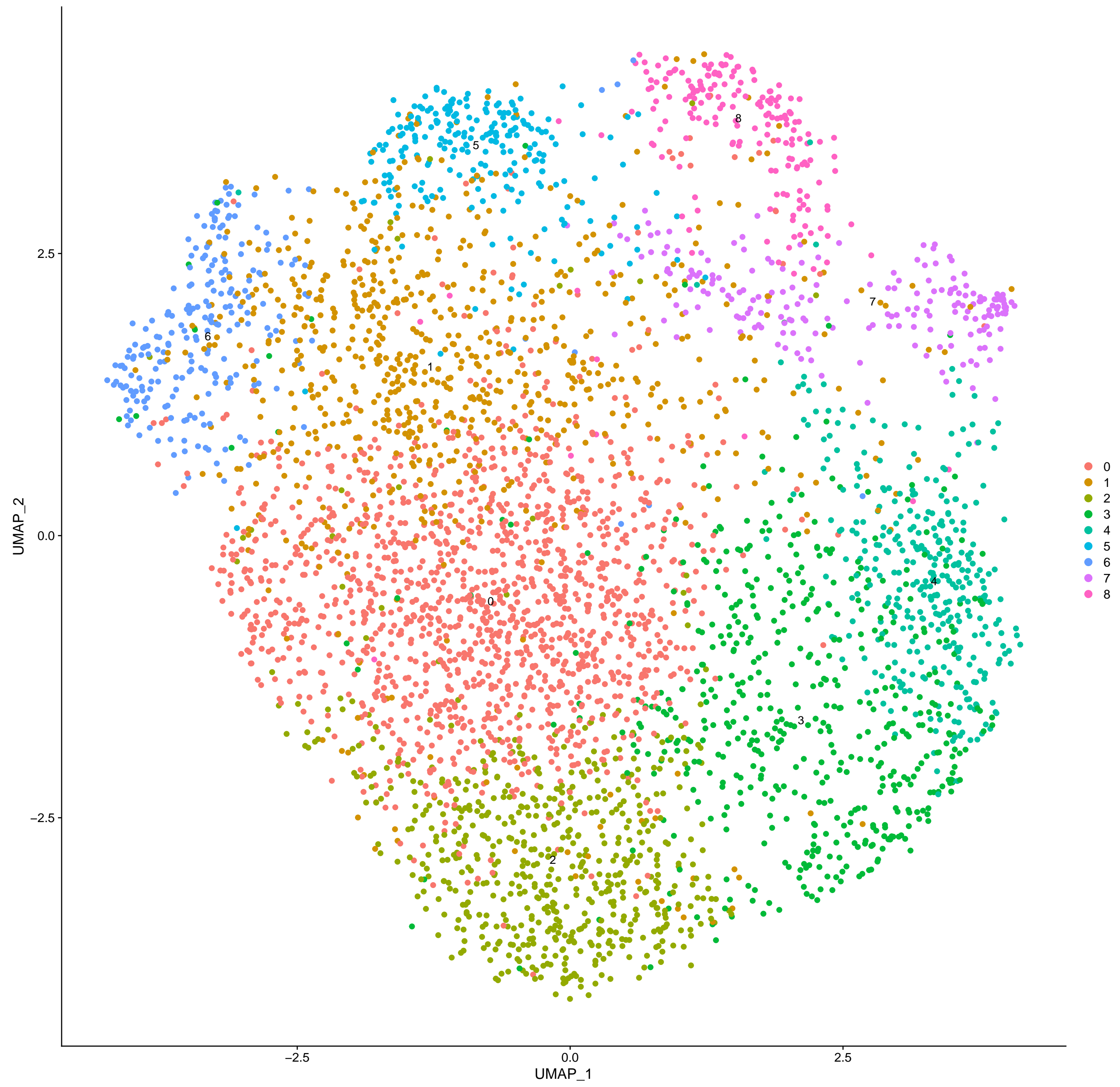


nmf

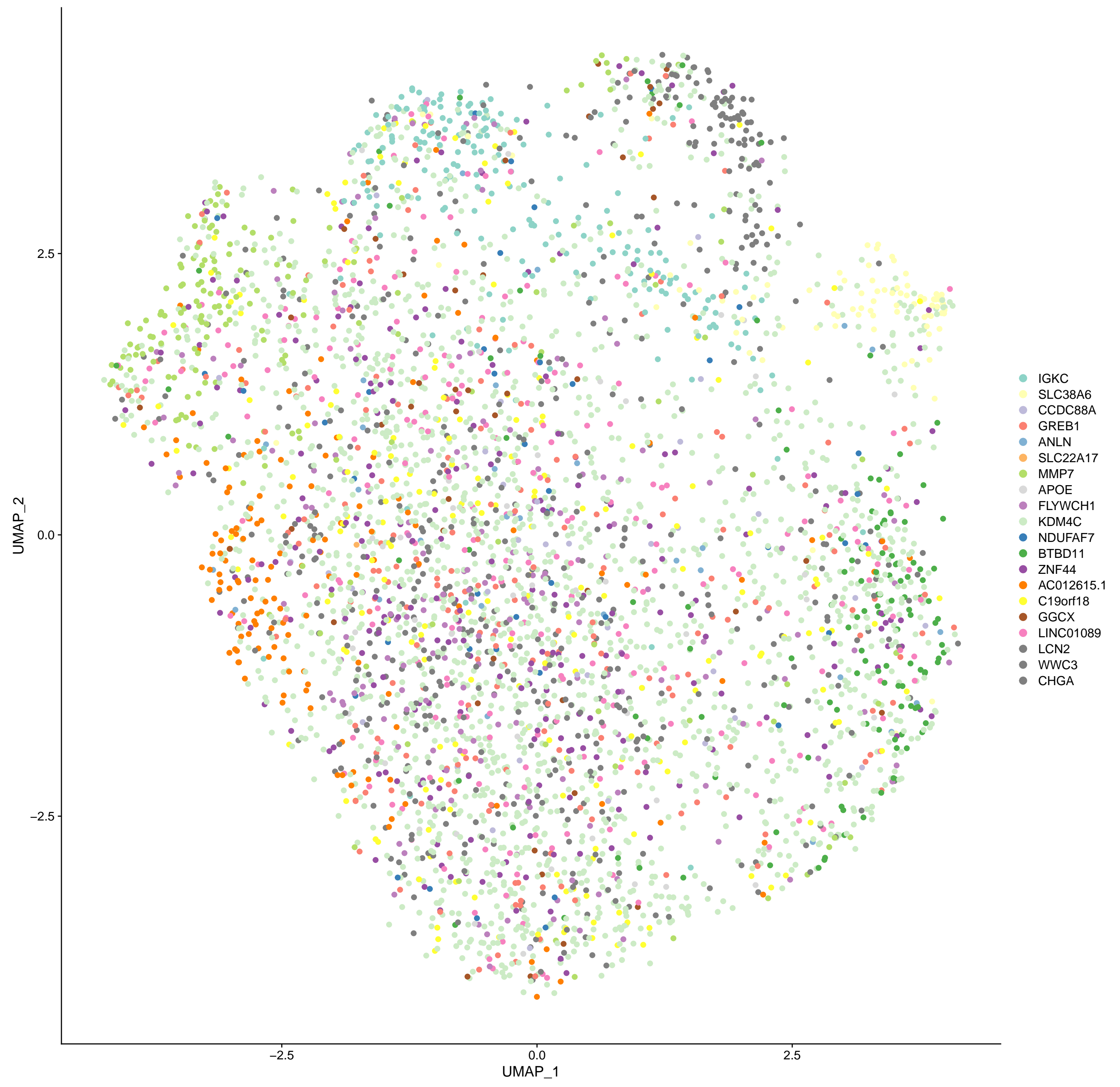


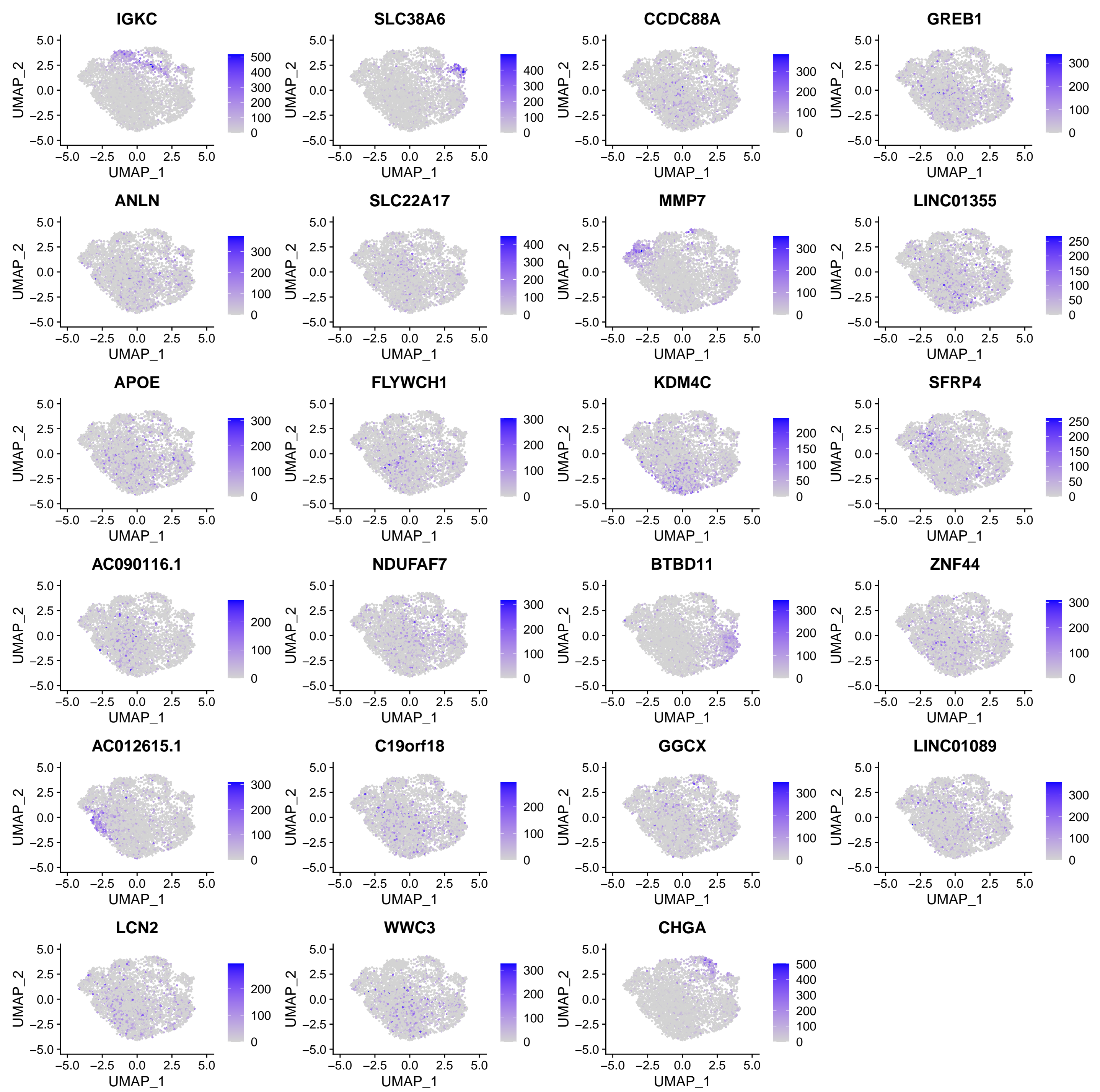


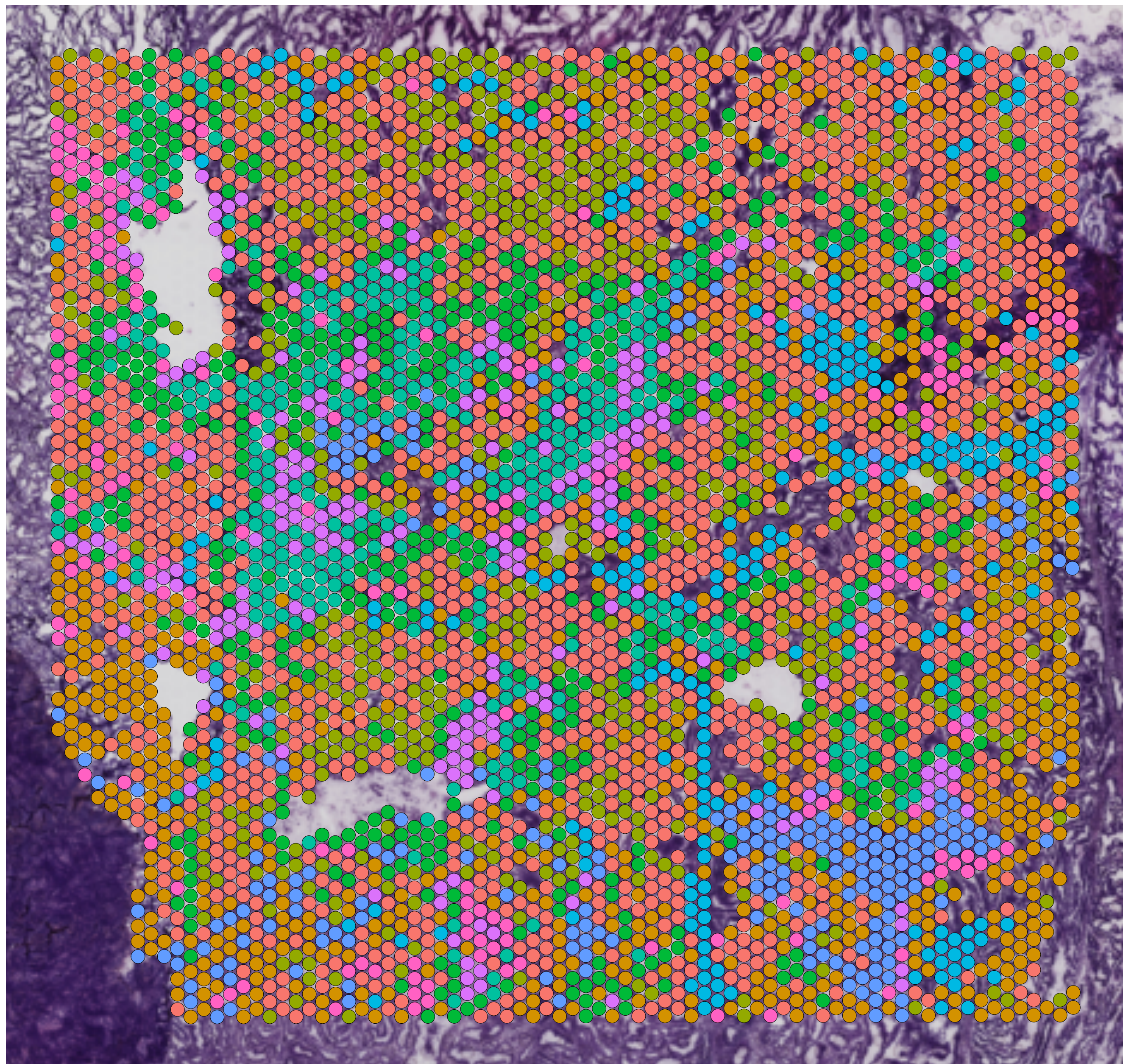
seurat_clusters



nmf

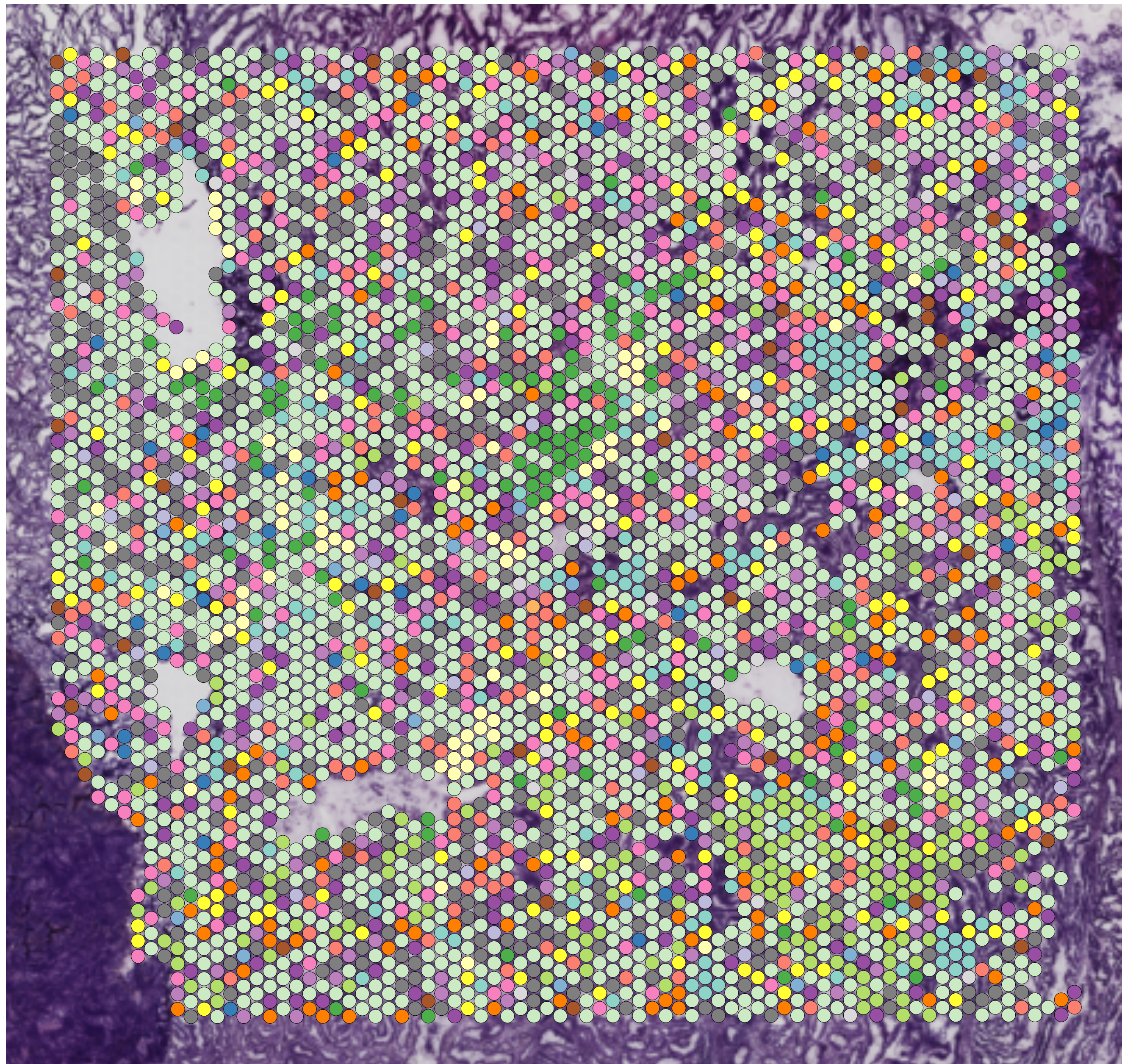






seurat_clusters

- 0
- 1
- 2
- 3
- 4
- 5
- 6
- 7
- 8



nmf

- IGKC
- SLC38A6
- CCDC88A
- GREB1
- ANLN
- SLC22A17
- MMP7
- APOE
- FLYWCH1
- KDM4C
- NDUFAF7
- BTBD11
- ZNF44
- AC012615.1
- C19orf18
- GGCX
- LINC01089
- LCN2
- WWC3
- CHGA

